

Instantonen/Sphaleronen im Standardmodell der Teilchenphysik

Von der Materie-Antimaterie Asymmetrie im Universum
bis zu Experimenten an Beschleunigern

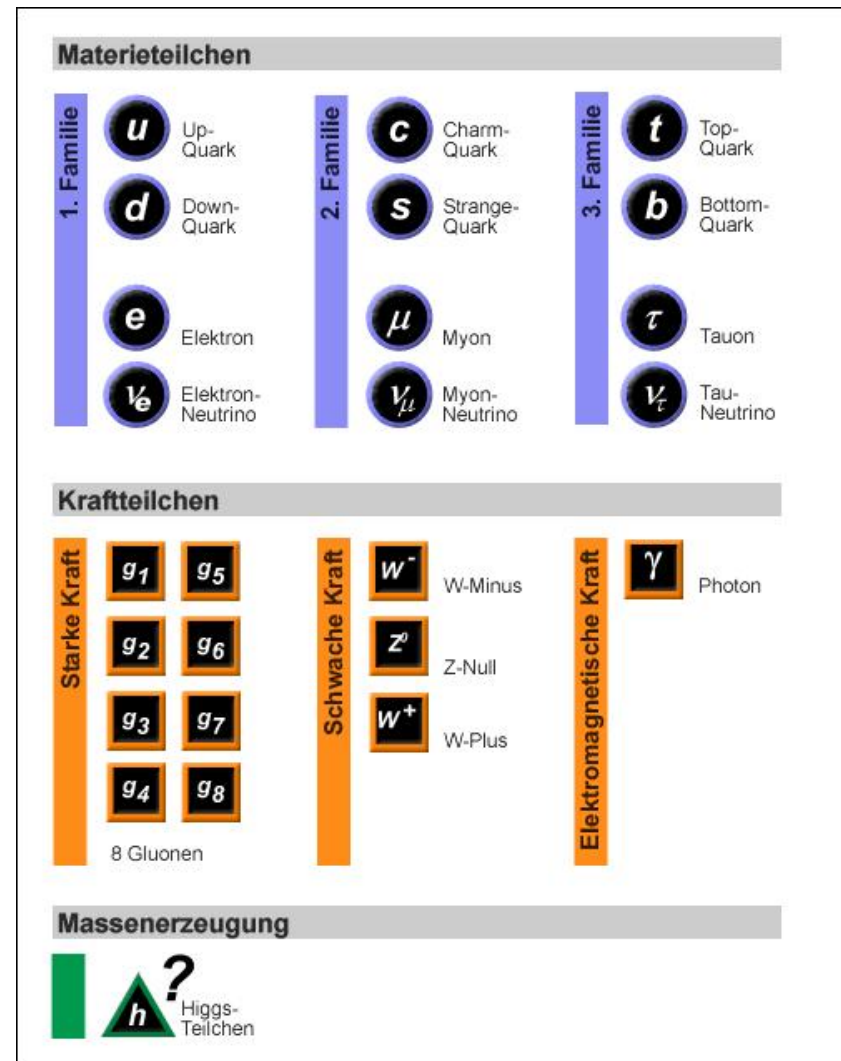
Andreas Ringwald



Physikalisches Kolloquium, 13. September 2006, Regensburg

1. Einleitung

- Standardmodell der **elektroschwachen (QFD)** und **starken (QCD)** Wechselwirkung

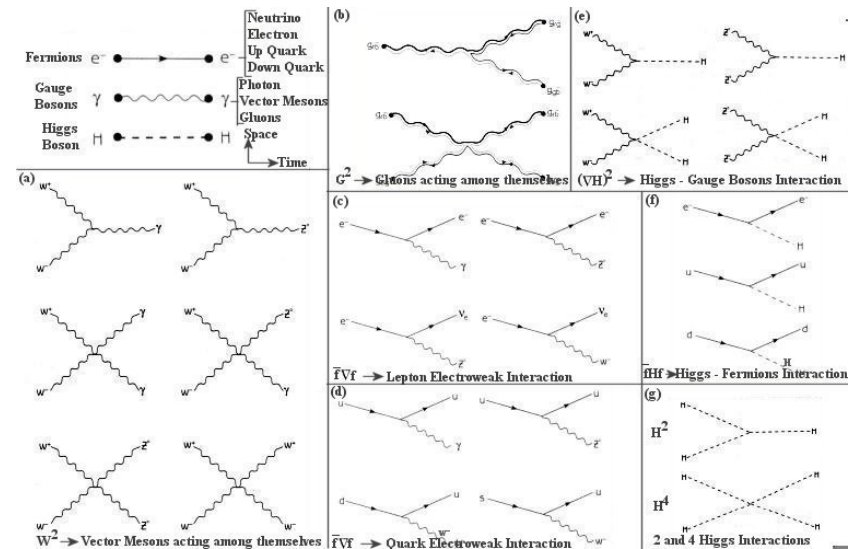


1. Einleitung

- Standardmodell der **elektroschwachen (QFD)** und **starken (QCD)** Wechselwirkung

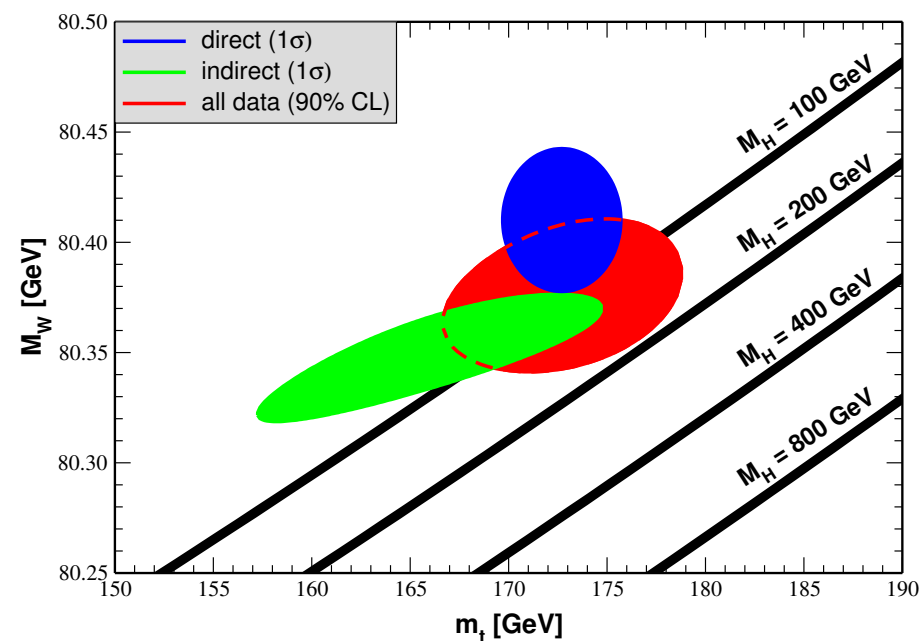
$$\begin{aligned} \mathcal{L} = & -\frac{1}{4}W_{\mu\nu}W^{\mu\nu} - \frac{1}{4}B_{\mu\nu}B^{\mu\nu} - \frac{1}{4}G_{\mu\nu}G^{\mu\nu} \\ & + \bar{L}\gamma^\mu(i\partial_\mu - \frac{1}{2}g\tau W_\mu - \frac{1}{2}g'YB_\mu)L \\ & + \bar{R}\gamma^\mu(i\partial_\mu - \frac{1}{2}g'YB_\mu)R \\ & + |(i\partial_\mu - \frac{1}{2}g\tau W_\mu - \frac{1}{2}g'YB_\mu)\phi|^2 - V(\phi) \\ & -(g_1\bar{L}\phi R + g_2\bar{L}\tilde{\phi}R + \text{herm.conj.}) \\ & + \frac{1}{2}g_s(\bar{\Psi}_q^j\gamma^\mu\lambda_{jk}^a\Psi_q^k)G_\mu^a \end{aligned}$$

[www.weltderphysik.de]



1. Einleitung

- Standardmodell der **elektroschwachen (QFD)** und **starken (QCD)** Wechselwirkung sehr erfolgreich
- ✓ Quantenkorrekturen (Störungstheorie)



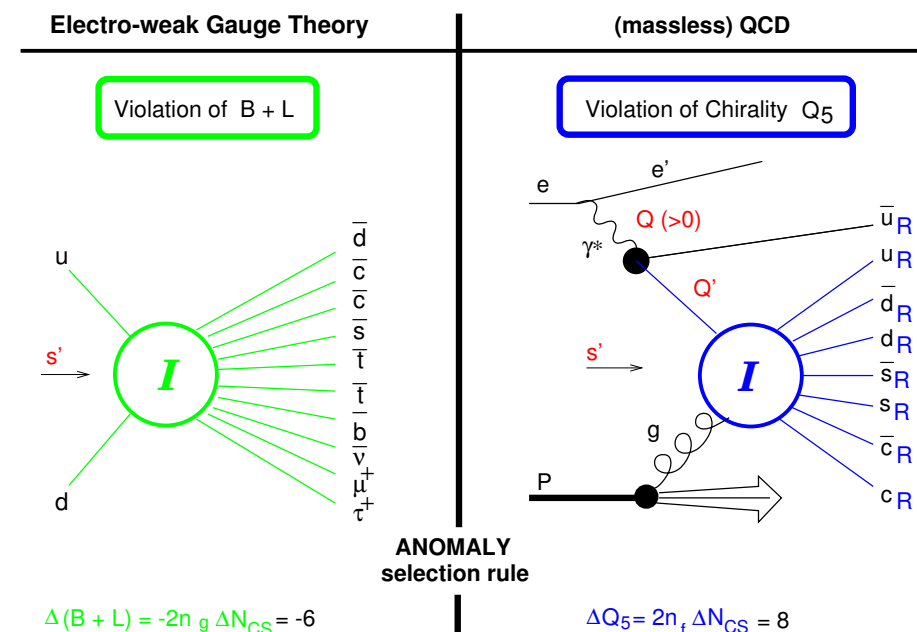
[Particle Data Group: pdg.lbl.gov]

1. Einleitung

- Standardmodell der **elektroschwachen (QFD)** und **starken (QCD)** Wechselwirkung sehr erfolgreich
- ✓ Quantenkorrekturen (Störungstheorie)
- Es gibt Prozesse, die nicht durch gewöhnliche Störungstheorie beschrieben werden können:
[Adler '69; Bell,Jackiw '69; Bardeen '69]
- B+L/Chiralitäts-verletzende Prozesse in QFD/QCD**
- Induziert durch **topologische Fluktuationen** der nicht-Abelschen Eichfelder, insbesondere **Instantonen**

A. Ringwald (DESY)

[Belavin *et al.* '75; 't Hooft '76]



Kolloquium, Regensburg

Fahrplan:

2. Anomalien im Standardmodell

3. Materie-Antimaterie Asymmetrie im Universum?

4. Anomale Prozesse an Beschleunigern?

5. Zusammenfassung

2. Anomalien im Standardmodell

- **Klassischer QCD** Lagrangian, für $m_q = 0$ [$q = \text{Spalte}(\underbrace{u, d, s, \dots}_{n_f})$],

$$\mathcal{L}_{\text{QCD}}^0 = -\frac{1}{4} G_{\mu\nu}^a G_a^{\mu\nu} + i\bar{q}_L \gamma^\mu D_\mu q_L + i\bar{q}_R \gamma^\mu D_\mu q_R$$

invariant unter der **globalen Transformation**

$$U(1)_{R-L} \equiv U(1)_A : q_R \xrightarrow{G} e^{i\theta} q_R, \quad q_L \xrightarrow{G} e^{-i\theta} q_L$$

⇒ Der **axiale Strom** ist **erhalten auf klassischem Niveau**:

$$\partial_\mu (\bar{q}_R \gamma^\mu q_R - \bar{q}_L \gamma^\mu q_L) = \partial_\mu (\bar{q} \gamma^\mu \gamma_5 q) = 0$$

- **$U(1)_A$ ist keine Symmetrie der Theorie auf Quantenniveau:**
Axialer Strom nicht erhalten \Leftrightarrow **Axiale Anomalie:**

[Adler '69; Bell,Jackiw '69]

$$\partial_\mu (\bar{q} \gamma^\mu \gamma_5 q) = \hbar 2 n_f \nu \quad ; \quad \nu \equiv \frac{\alpha_s}{16\pi} \epsilon^{\mu\nu\rho\sigma} G_{\mu\nu}^a G_{\rho\sigma}^a \equiv \frac{\alpha_s}{8\pi} G_{\mu\nu}^a \tilde{G}^{a\mu\nu}$$

- ν sogenannte **topologische Ladungsdichte**. Kann geschrieben werden als totale Divergenz,

$$\nu = \partial^\mu K_\mu(x) \quad ; \quad K_\mu = \frac{\alpha_s}{4\pi} \epsilon_{\mu\alpha\beta\gamma} A_a^\alpha \left(\partial^\beta A_a^\gamma + \frac{1}{3} g f_{abc} A_b^\beta A_c^\gamma \right)$$

K_μ sogenannter **Chern-Simons Strom**

\Rightarrow Für genügend schnell verschwindende Felder kann Integral der Anomalie über Raumzeit, $\int d^4x \partial_\mu (\bar{q} \gamma^\mu \gamma_5 q) = 2 n_f \int d^4x \nu \equiv 2 n_f \int d^4x \partial_\mu K^\mu$,

geschrieben werden als

$$\underbrace{\int_{-\infty}^{+\infty} dt \partial_t \int d^3x \bar{q} \gamma^0 \gamma_5 q}_{Q_5(t=\infty) - Q_5(t=-\infty)} = 2 n_f \underbrace{\int_{-\infty}^{+\infty} dt \partial_t \int d^3x K^0}_{N_{\text{CS}}(t=\infty) - N_{\text{CS}}(t=-\infty)}$$

in Kürze also

$$\Delta Q_5 = 2 n_f \Delta N_{\text{CS}}[G]$$

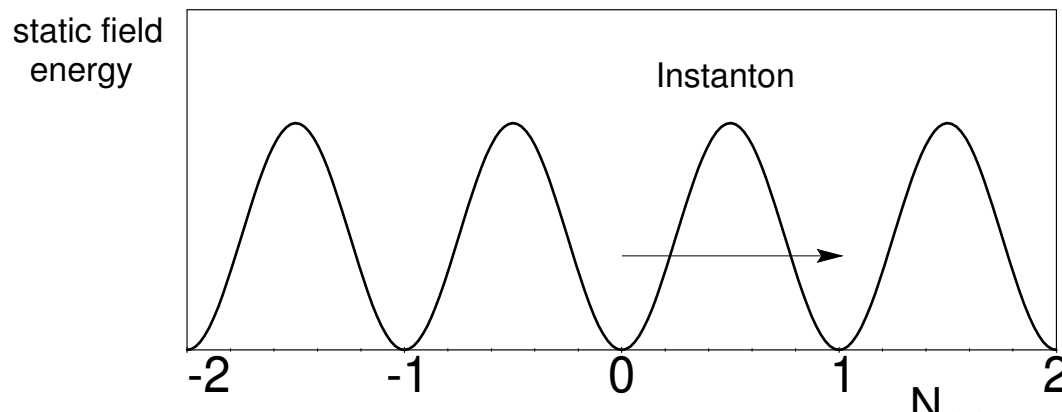
d.h. im Hintergrund von Gluonfeldern, welche sich zeitlich derart entwickeln, daß sich ihre Chern-Simons Zahl $N_{\text{CS}} = \int d^3x K^0$ um ΔN_{CS} ändert, ändert sich die axiale Ladung Q_5 um $2 n_f \Delta N_{\text{CS}}$

- Analog, in der **QFD**,

$$\Delta(B + L) = -2 n_g \Delta N_{\text{CS}}[W]$$

- Klassische Vakuumfelder, d.h. klassische Eichfelder mit verschwindender Energie, haben **ganzzahlige** N_{CS} .
- Aus topologischen Gründen ist es nicht möglich, Eichfelder verschiedener Chern-Simons Zahlen glatt ineinander zu deformieren \Rightarrow klassische Vakua sind durch **Energiebarrieren** separiert

[Jackiw,Rebbi 176; Callan,Dashen,Gross '76]



- **Instanton** beschreibt $\Delta N_{\text{CS}} = 1$ **Tunnelübergänge**. Assoziiert mit anomaler Verletzung von Quantenzahlen,

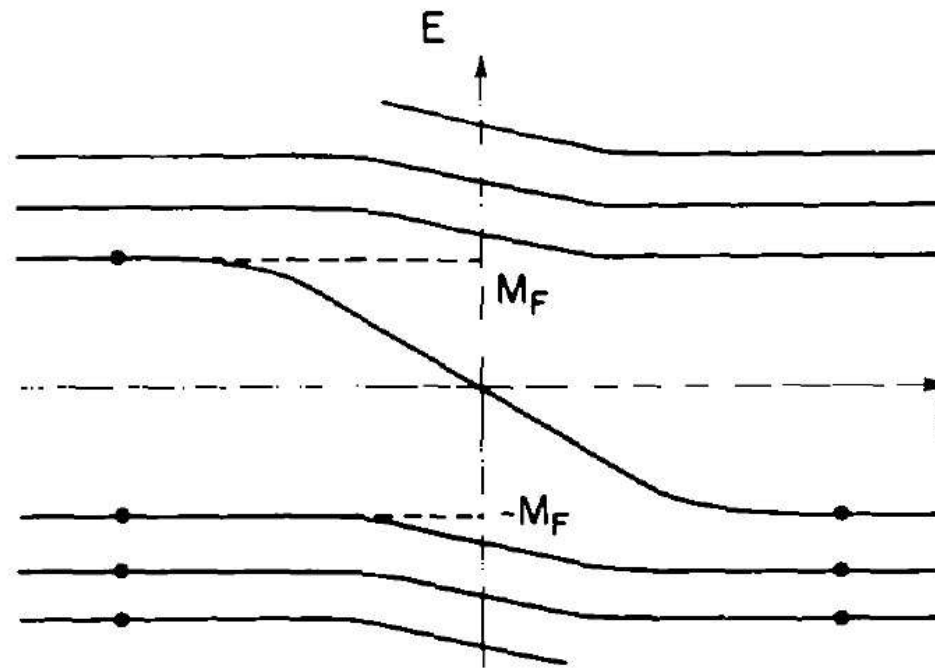
['t Hooft '76]

$$\Delta Q_5 = 2 n_f \text{ in QCD}; \quad \Delta(B + L) = -2 n_g \text{ in QFD}$$

- Im Hintergrund von $\Delta N_{\text{CS}} = 1$ Eichfeldkonfigurationen findet “fermion level crossing” statt:

[Callen,Dashen,Gross '78;..;Christ '80;Rubakov '85;..;AR '88;..]

Fermionische Energilevel im Hintergrund eines QFD Instantons:



[Rubakov '85]

3. Materie-Antimaterie Asymmetrie im Universum?

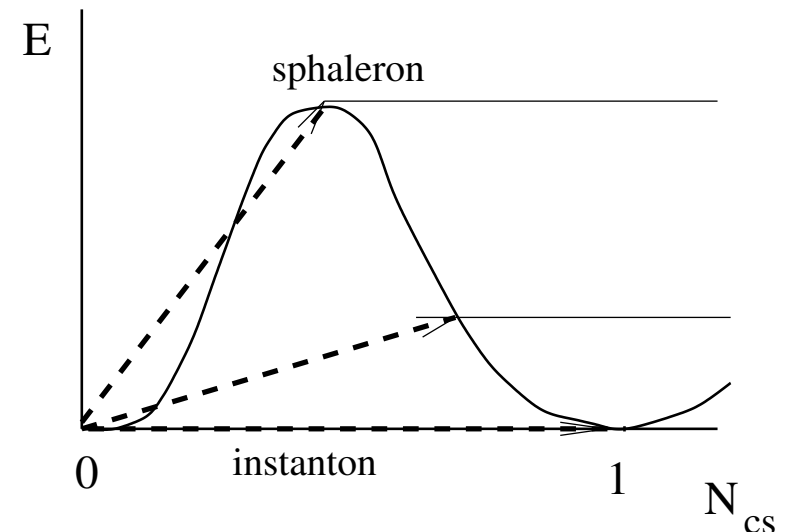
- Bei niederen Energien, $\Delta N_{\text{CS}} \neq 0$
Übergänge nur via Tunneln möglich
- ⇒ Anomale Prozesse exponentiell unterdrückt; Rate $\propto \exp(-4\pi/\alpha_W)$
- ⇒ z.B. mittlere Lebensdauer von Deuteron $\rightarrow \bar{N} + 3\bar{\ell}$: $\sim 10^{200}$ Jahre
- Bei Energien \gtrsim Barrierenhöhe,
– QFD Sphaleronenergie

[Klinkhamer,Manton '84]

$$M_{\text{sp}} \sim \pi \frac{m_W}{\alpha_W} \sim 7.5 \text{ TeV}$$

weniger Unterdrückung, da auch klassische Übergänge möglich

A. Ringwald (DESY)



Kolloquium, Regensburg

– Instantonen/Sphaleronen im Standardmodell –

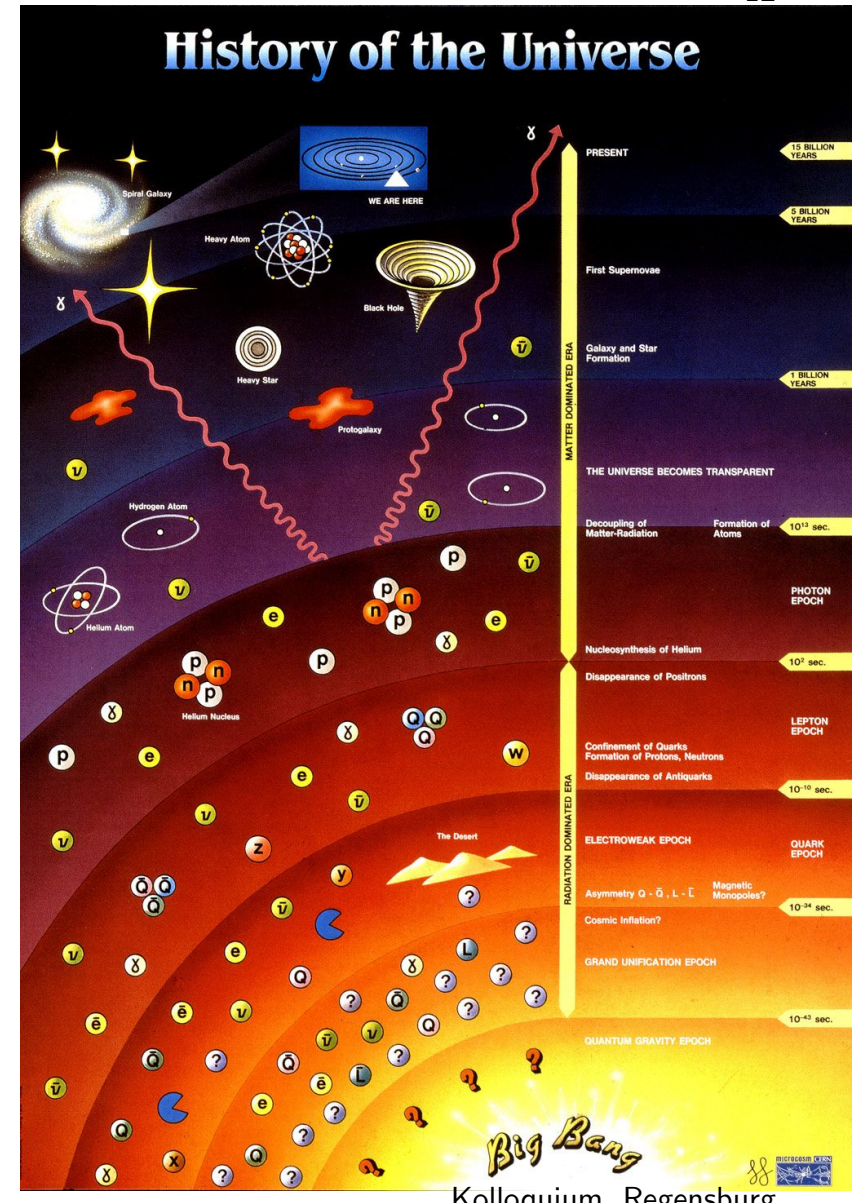
⇒ Anomale Prozesse waren im frühen Universum im Gleichgewicht, d.h. deren Rate \gtrsim Expansionsrate, im Temperaturbereich

[Kuzmin,Rubakov,Shaposhnikov '85;..;AR '88;..;Bödeker '98]

$$100 \text{ GeV} \lesssim T \lesssim 10^{12} \text{ GeV}$$

A. Ringwald (DESY)

12



Kolloquium, Regensburg

– Instantonen/Sphaleronen im Standardmodell –

13

⇒ Anomale Prozesse waren im frühen Universum im Gleichgewicht, d.h. deren Rate \gtrsim Expansionsrate, im Temperaturbereich

[Kuzmin,Rubakov,Shaposhnikov '85;..;AR '88;..;Bödeker '98]

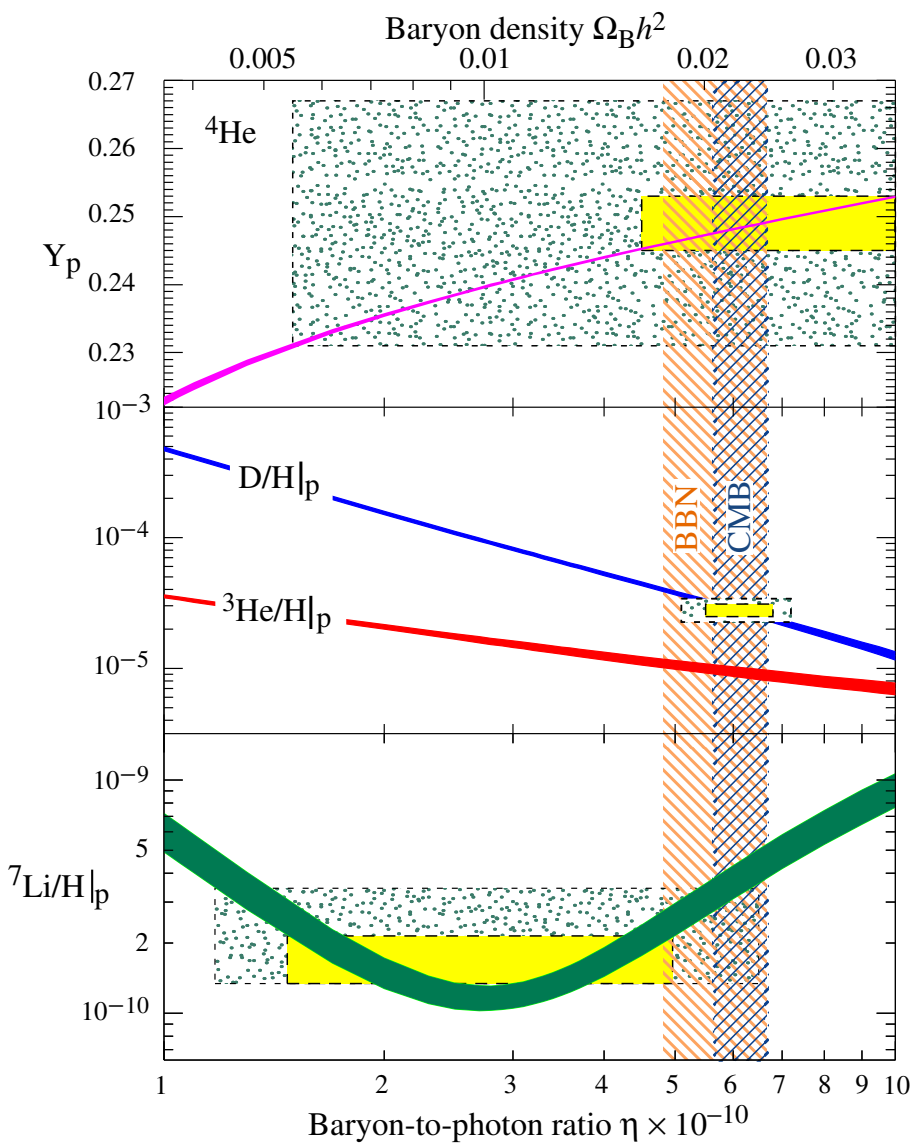
$$100 \text{ GeV} \lesssim T \lesssim 10^{12} \text{ GeV}$$

- Ist es möglich, die beobachtete Materie-Antimaterie Asymmetrie im Universum,

$$\eta_B \equiv \frac{n_B - n_{\bar{B}}}{n_\gamma} = (6.1 \pm 0.3) \times 10^{-10}$$

im Rahmen des Standardmodells zu erklären?

A. Ringwald (DESY)

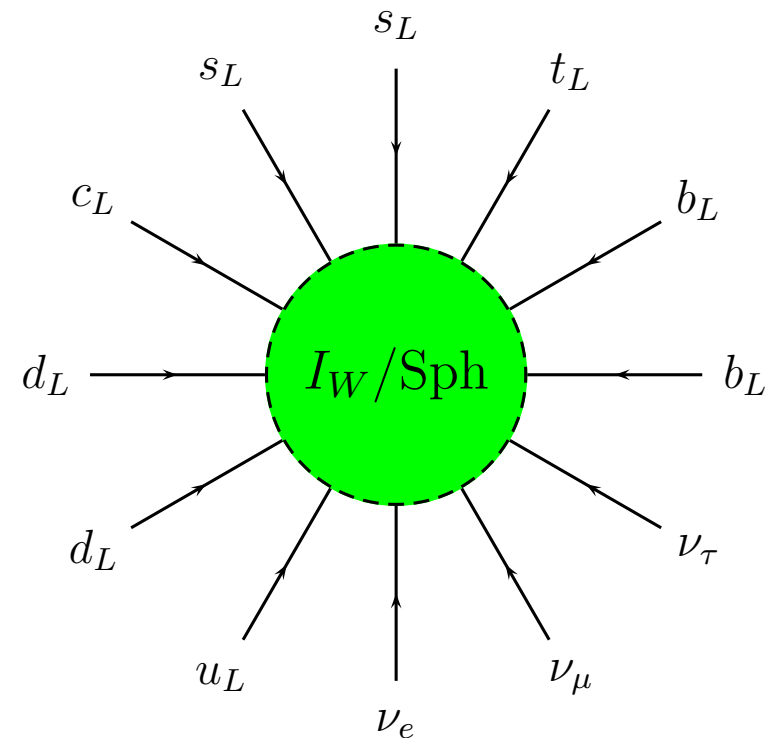


Kolloquium, Regensburg

– Instantonen/Sphaleronen im Standardmodell –

14

- Im expandierenden Universum kann die Materie-Antimaterie Asymmetrie dynamisch erzeugt werden, falls es elementare Prozesse gibt, [Sakharov '67]
 - i) die C und CP verletzen,
 - ii) die Baryon- und Leptonzahl verletzen,
 - iii) und die ausserhalb des thermischen Gleichgewichts stattfinden
- Im Rahmen des Standardmodells:
 - i) ✓
 - ii) ✓

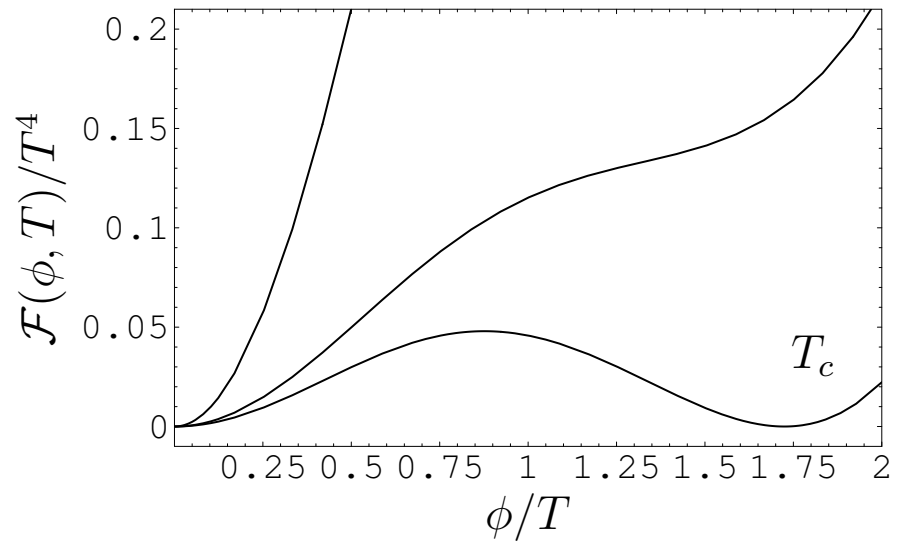


- Im expandierenden Universum kann die Materie-Antimaterie Asymmetrie dynamisch erzeugt werden, falls es elementare Prozesse gibt, [Sakharov '67]
 - i) die C und CP verletzen,
 - ii) die Baryon- und Leptonzahl verletzen,
 - iii) und die ausserhalb des thermischen Gleichgewichts stattfinden
- Im Rahmen des Standardmodells:
 - i) ✓
 - ii) ✓
 - iii) Elektroschwacher Phasenübergang zu schwach im minimalen Standardmodell; könnte stark genug sein in supersymmetrischen Erweiterungen (\Leftarrow Labortests!)

A. Ringwald (DESY)

[..;Procopec et al. '02;Carena et al. '05]

Phasenübergang 1. Ordnung:



Kolloquium, Regensburg

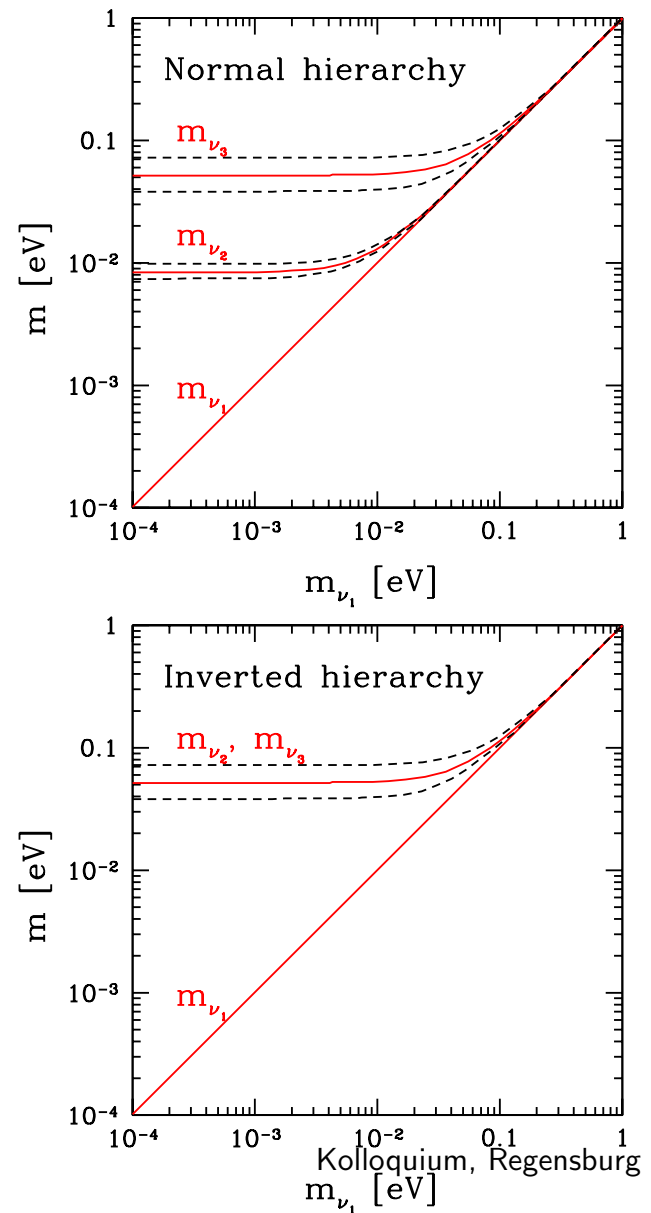
Baryogenese via Leptogenese

[Fukugita, Yanagida '86;..; Buchmüller, Plümacher '96-'04;..]

- See-saw Mechanismus:

[Minkowski '77; Yanagida '79; Gell-Mann, Ramond, Slansky '79]

$m_\nu \sim 0.01$ eV für Standardmodell-Neutrinos



Baryogenese via Leptogenese

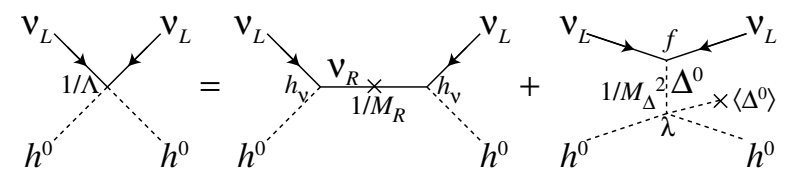
[Fukugita,Yanagida '86;..;Buchmüller,Plümacher '96-'04;..]

- See-saw Mechanismus:

[Minkowski '77; Yanagida '79; Gell-Mann,Ramond,Slansky '79]

$m_\nu \sim 0.01$ eV für Standardmodell-Neutrinos natürlich, wenn es schwere Neutrinos mit $M_M \sim 10^{15}$ GeV gibt,

$$m_\nu = -m_D \frac{1}{M_M} m_D^T$$



[Mohapatra *et al.* '04]

Baryogenese via Leptogenese

[Fukugita, Yanagida '86;..;Buchmüller, Plümacher '96-'04;..]

- **See-saw Mechanismus:**

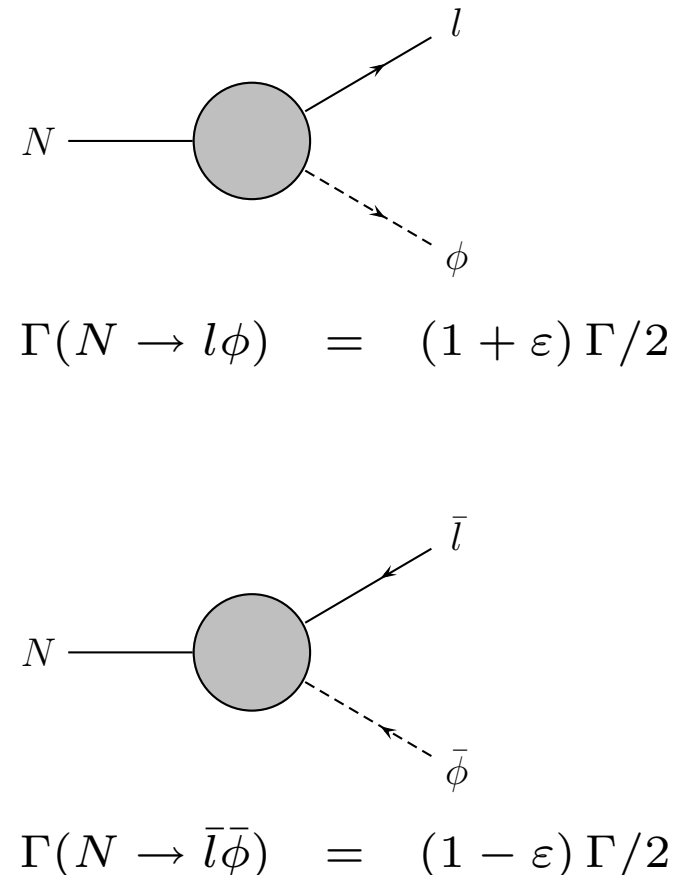
[Minkowski '77; Yanagida '79; Gell-Mann, Ramond, Slansky '79]

$m_\nu \sim 0.01$ eV für Standardmodell-Neutrinos natürlich, wenn es schwere Neutrinos mit $M_M \sim 10^{15}$ GeV gibt,

$$m_\nu = -m_D \frac{1}{M_M} m_D^T$$

- CP und L verletzende, außerhalb des thermischen Gleichgewichts stattfindende Zerfälle der schweren Neutrinos N in leichte Leptonen l and Higgs Bosonen ϕ

\Rightarrow Leptonasymmetrie, $\eta_L = \kappa \epsilon / g_*$



Baryogenese via Leptogenese

[Fukugita,Yanagida '86;..;Buchmüller,Plümacher '96-'04;..]

- **See-saw Mechanismus:**

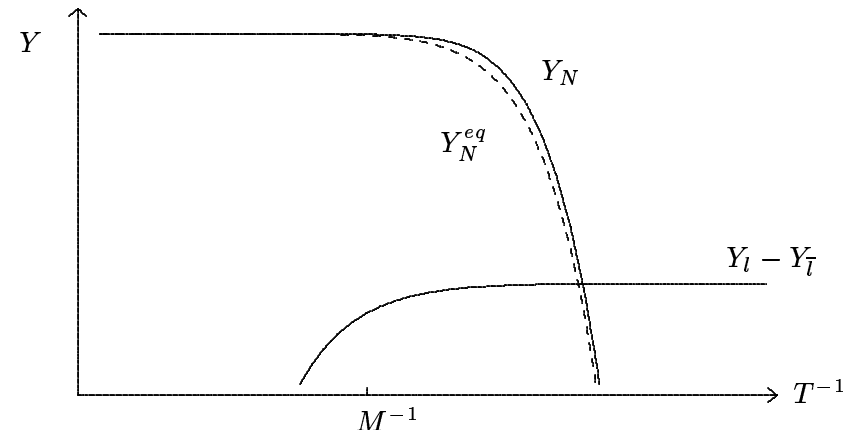
[Minkowski '77; Yanagida '79; Gell-Mann,Ramond,Slansky '79]

$m_\nu \sim 0.01$ eV für Standardmodell-Neutrinos natürlich, wenn es schwere Neutrinos mit $M_M \sim 10^{15}$ GeV gibt,

$$m_\nu = -m_D \frac{1}{M_M} m_D^T$$

- CP und L verletzende, außerhalb des thermischen Gleichgewichts stattfindende Zerfälle der schweren Neutrinos N in leichte Leptonen l and Higgs Bosonen ϕ

⇒ Leptonasymmetrie, $\eta_L = \kappa \epsilon / g_*$



Baryogenese via Leptogenese

[Fukugita, Yanagida '86;..;Buchmüller, Plümacher '96-'04;..]

- **See-saw Mechanismus:**

[Minkowski '77; Yanagida '79; Gell-Mann, Ramond, Slansky '79]

$m_\nu \sim 0.01$ eV für Standardmodell-Neutrinos natürlich, wenn es schwere Neutrinos mit $M_M \sim 10^{15}$ GeV gibt,

$$m_\nu = -m_D \frac{1}{M_M} m_D^T$$

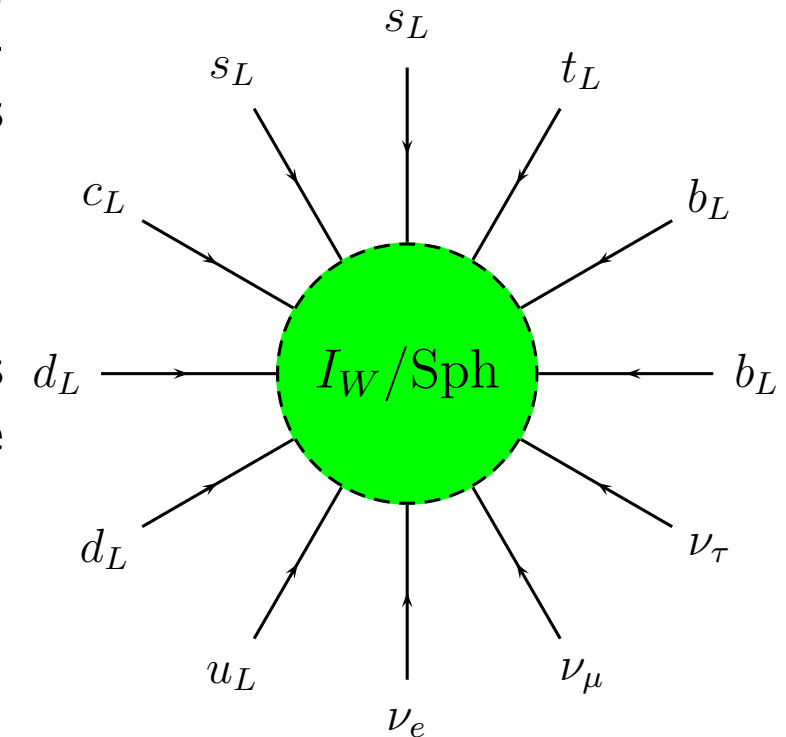
- CP und L verletzende, außerhalb des thermischen Gleichgewichts stattfindende Zerfälle der schweren Neutrinos N in leichte Leptonen l und Higgs Bosonen ϕ

\Rightarrow Leptonasymmetrie, $\eta_L = \kappa \epsilon / g_*$

\Rightarrow Anomale Prozesse \Rightarrow Baryonasymmetrie,

$$\eta_B = c \eta_L$$

A. Ringwald (DESY)



Kolloquium, Regensburg

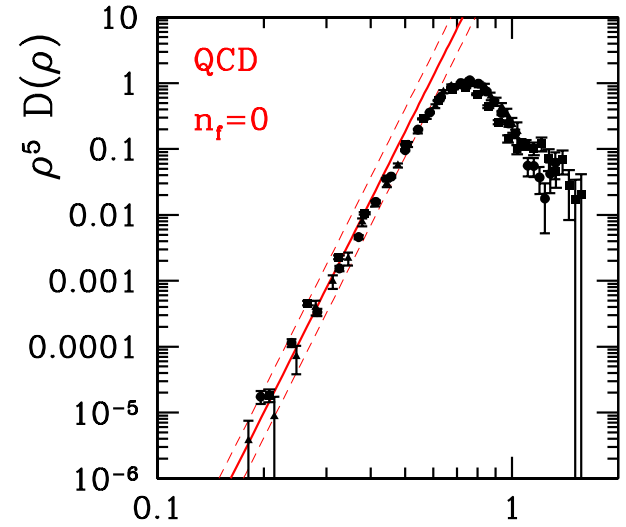
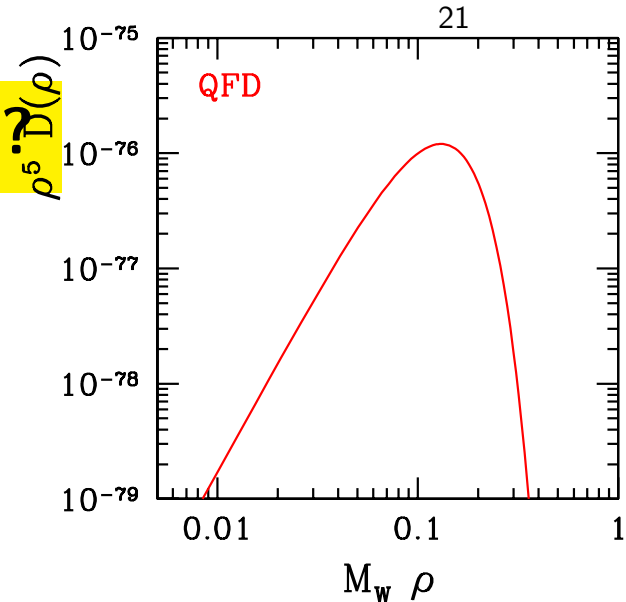
– Instantonen/Sphaleronen im Standardmodell –

4. Anomale Prozesse an Beschleunigern?

- Natürliche Skala: Sphaleronenergie

$$M_{\text{sp}} \sim \frac{\pi}{\alpha \rho} \sim \begin{cases} 10 \text{ TeV} & \text{in QFD} \\ 10 \text{ GeV} & \text{in QCD} \end{cases}$$

[Klinkhamer,Manton '84;..;AR,F.Schrempp '94-'01;..]



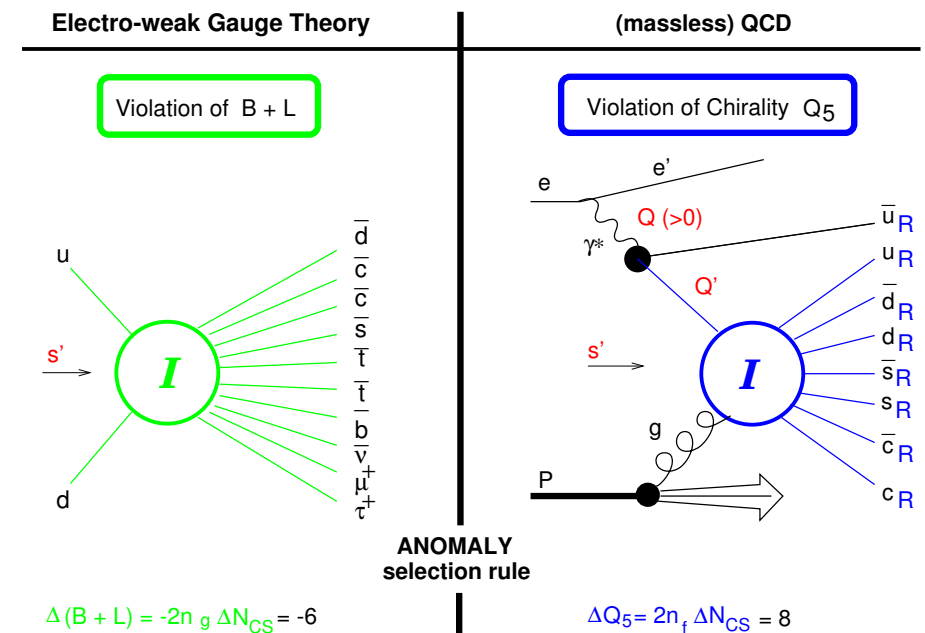
4. Anomale Prozesse an Beschleunigern?

- Natürliche Skala: Sphaleronenergie

$$M_{\text{sp}} \sim \frac{\pi}{\alpha \rho} \sim \begin{cases} 10 \text{ TeV} & \text{in QFD} \\ 10 \text{ GeV} & \text{in QCD} \end{cases}$$

[Klinkhamer,Manton '84;..;AR,F.Schrempp '94-'01;..]

⇒ Anomale Prozesse in
QFD:
QCD:



– Instantonen/Sphaleronen im Standardmodell –

4. Anomale Prozesse ...

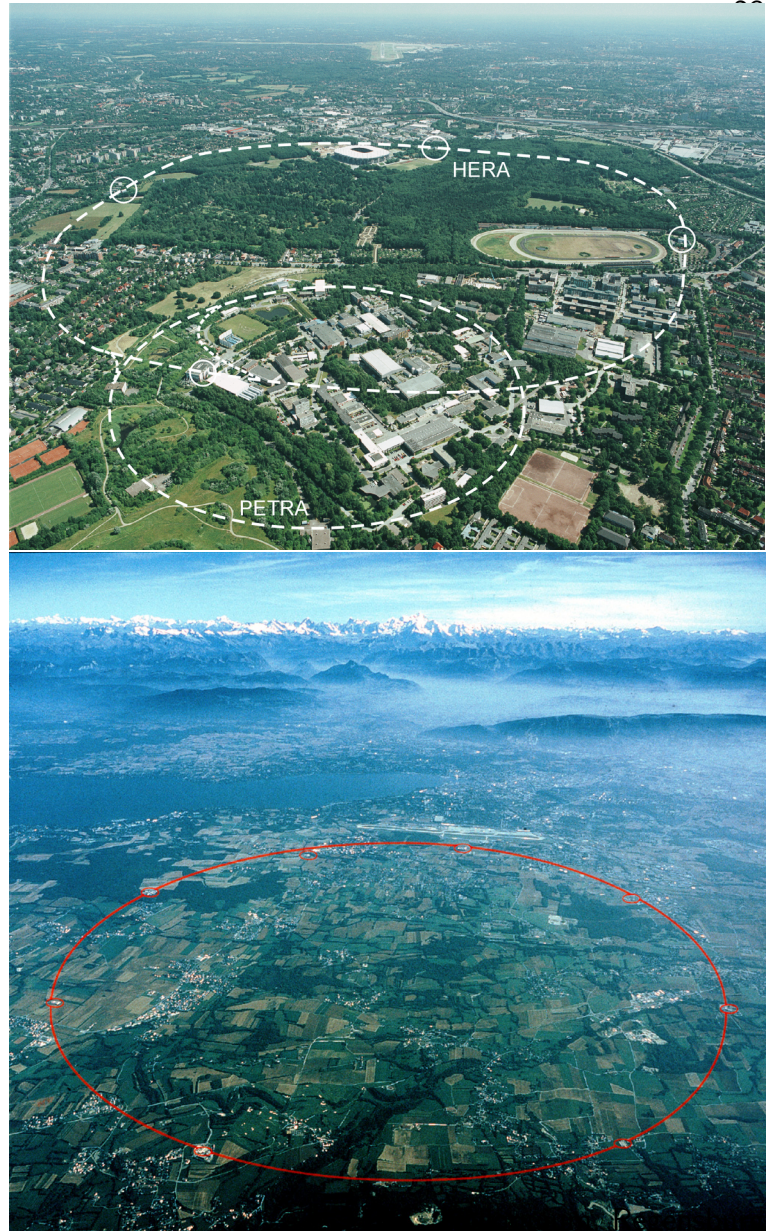
- Natürliche Skala: Sphaleronenergie

$$M_{\text{sp}} \sim \frac{\pi}{\alpha \rho} \sim \begin{cases} 10 \text{ TeV} & \text{in QFD} \\ 10 \text{ GeV} & \text{in QCD} \end{cases}$$

[Klinkhamer,Manton '84;..;AR,F.Schrempp '94-'01;..]

⇒ Anomale Prozesse in
QFD: VLHC ($> 20??$)
QCD: HERA ($\leq '07$), LHC ($\geq '07$)

A. Ringwald (DESY)



Anomale Prozesse in QCD bei HERA

[Balitsky,Braun '93; AR,F.Schrempp '94-'01]

Monte Carlo Ereignisgenerator für anomale Prozesse in tief-inelastischer eP Streuung

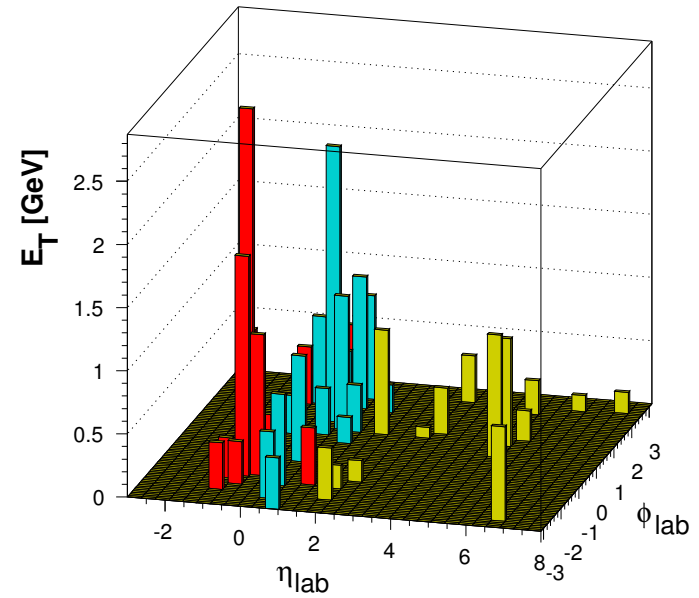
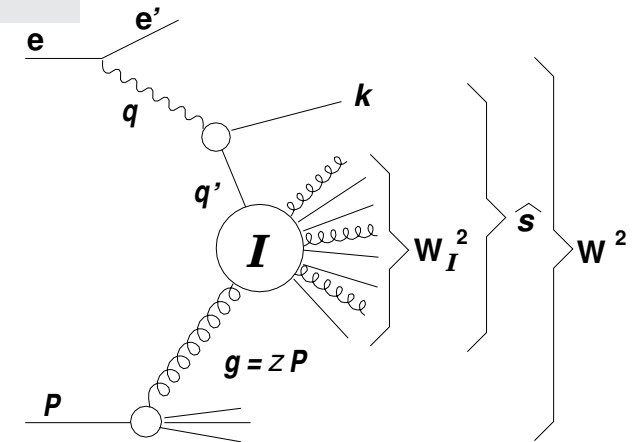
- **Elementarer Prozess:**

- isotrop in $q'g$ Schwerpunktssystem
- Flavor demokratisch
- große Partonmultiplizität

$$\langle n_q + n_g \rangle = 2 n_f - 1 + \mathcal{O}(1)/\alpha_s \gtrsim 8,$$

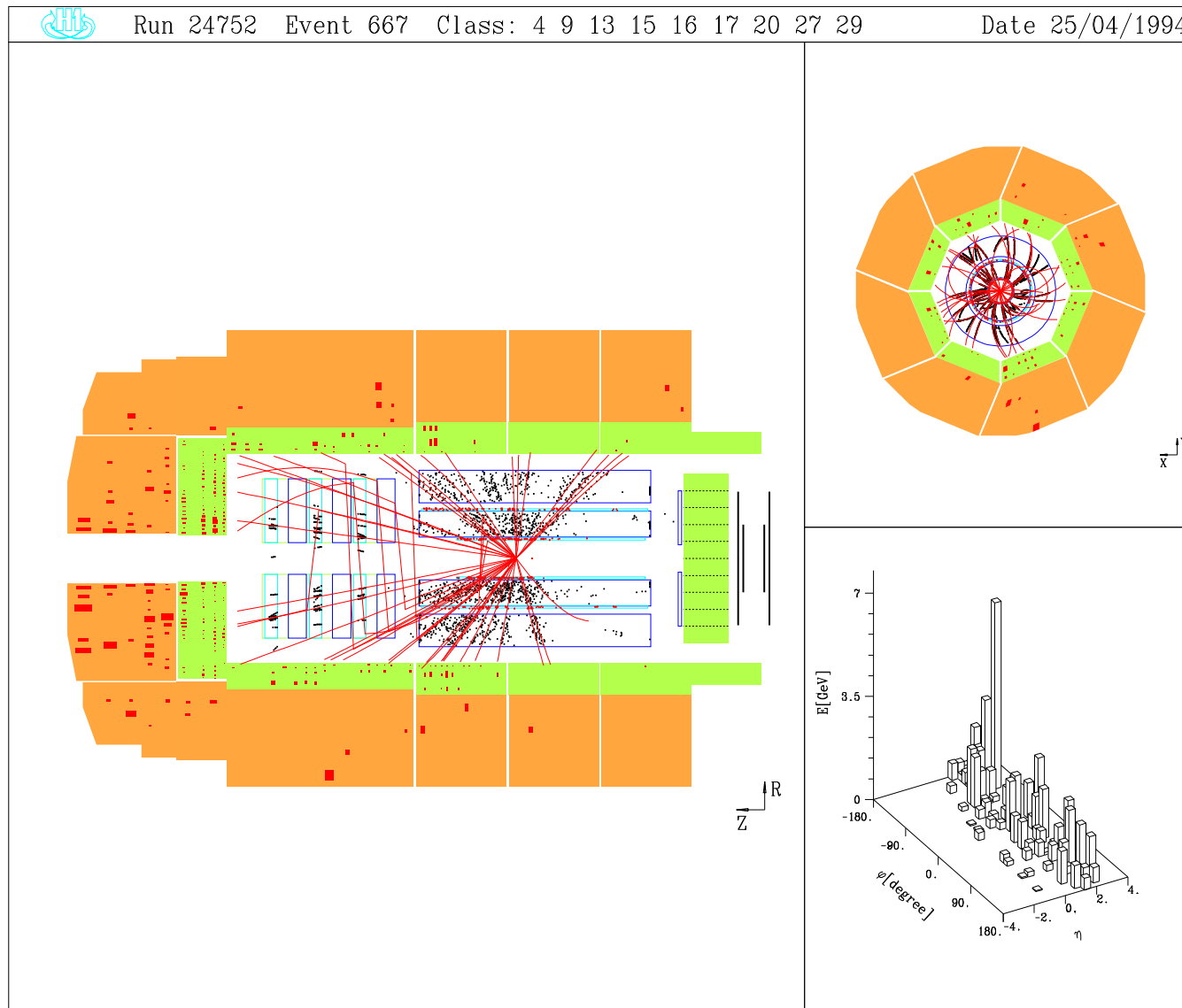
- **Partonschauer**

- **Hadronisierung**



– Instantonen/Sphaleronen im Standardmodell –

25



A. Ringwald (DESY)

Kolloquium, Regensburg

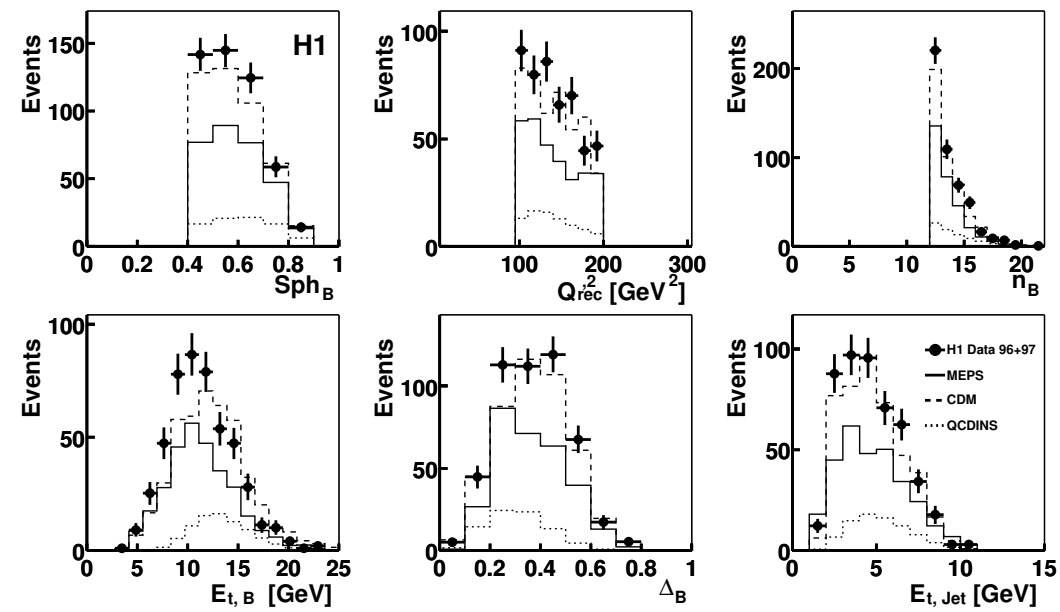
Erste Suche von H1 Kollaboration

[H1 Kollab. '02]

- Vergleich der gemessenen Daten mit Vorhersagen von Ereignisgeneratoren:

QCDINS: anomale Prozesse
MEPS (CDM): norm. Proz.

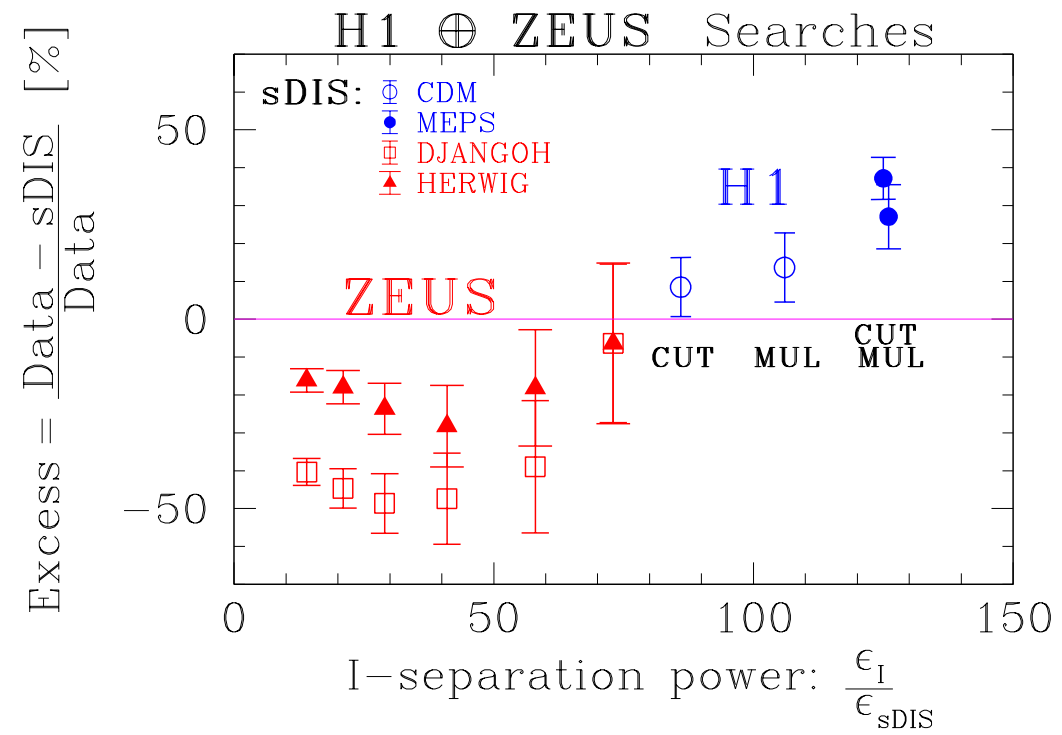
- Überschuß von Instantonartigen Ereignissen
- Statistisch signifikant im Vergleich zu **MEPS**
- Unsicherheiten in Simulationen der normalen Prozesse?



Zusammenfassung der H1/ZEUS Suchen bei HERA I

[H1 Kollab. '02; ZEUS Kollab. '04]

- Instanton-angereicherte Daten durch Schnitte in geeigneten Observablen
- Große Differenzen in Vorphersagen verschiedener Ereignisgeneratoren der normalen Prozesse
- Größere Statistik bei **HERA II** erlaubt härtere Schnitte \Rightarrow größere Instanton-Separierungsleistung $\epsilon_I/\epsilon_{\text{sDIS}}$



[F. Schrempp '04]

5. Zusammenfassung

Topologische Fluktuationen der Eichfelder und die assoziierten anomalen Prozesse sind eine unmittelbare Vorhersage der Eichtheorien der elektroschwachen (**QFD**) und starken (**QCD**) Wechselwirkung

- Anomale ($B+L$)-verletzende Prozesse (**QFD**) sind sehr wichtig im frühen Universum und haben einen entscheidenden Einfluß auf die Entwicklung der Baryon- und Leptonasymmetrie des Universums
 - Elektroschwache Baryogenese?
 - Baryogenese durch Leptogenese?
- Anomale Q_5 -verletzende Prozesse (**QCD**) können im Labor an Beschleunigern untersucht werden
 - Gegenwärtige Studien bei **HERA**
 - Zukünftige Studien am **LHC**

[F.Schrempp; F.Schrempp,Petermann]

Aus diesen Studien lernt man etwas über anomale ($B + L$)-verletzende Prozesse an zukünftigen Beschleunigern im 100 TeV Bereich (**VLHC**)